

FDTD (3次元導波管解析) プログラムの説明

v1.1 Apr.2014

目次

1. プログラム名と対応ファイル名との関係	2 ページ
2. プログラムの説明	3 ページ
1. module ftdt_lib	<モジュール関数> 3 ページ
2. program main	<メイン関数> 4 ページ
3. subroutine lattice_time	<サブルーチン関数> 5 ページ
4. subroutine media_coeff	<サブルーチン関数> 6 ページ
5. subroutine modeling	<サブルーチン関数> 7 ページ
6. subroutine init_eh_field	<サブルーチン関数> 8 ページ
6. subroutine e_field	<サブルーチン関数> 8 ページ
6. subroutine h_field	<サブルーチン関数> 8 ページ
7. subroutine j_source	<サブルーチン関数> 9 ページ
8. subroutine waveguide	<サブルーチン関数> 10 ページ
9. subroutine power	<サブルーチン関数> 11 ページ
10. subroutine init_e_mur1	<サブルーチン関数> 12 ページ
10. subroutine e_mur1	<サブルーチン関数> 12 ページ
11. subroutine output	<サブルーチン関数> 13 ページ
文献	14 ページ

1. プログラム名と対応ファイル名との関係

便宜上、プログラムを次のように定義する。

番号. プログラム名 (ファイル名)

1. module fdtlib (fdtd_lib.f90)
2. program main (main.f90)
3. subroutine lattice_time (lattice_time.f90)
4. subroutine media_coeff (media_coeff.f90)
5. subroutine modeling (modeling.f90)
 - 5.1 subroutine rectangular_hollow_xy
 - 5.2 subroutine rectangular_hole_xy
 - 5.3 subroutine rectangular_media
 - 5.4 subroutine rectangular_media_2
6. subroutine init_eh_field (eh_field.f90)
6. subroutine e_field
6. subroutine h_field
7. subroutine j_source (source.f90)
8. subroutine waveguide (waveguide.f90)
9. subroutine power (power.f90)
 - 9.1 subroutine poynting_xy
 - 9.2 subroutine poynting_yz
 - 9.3 subroutine poynting_zx
10. subroutine init_e_mur1 (e_mur1.f90)
10. subroutine e_mur1
 - 10.1 subroutine e_mur1_xy1
 - 10.2 subroutine e_mur1_xy2
 - 10.3 subroutine e_mur1_yz1
 - 10.4 subroutine e_mur1_yz2
 - 10.5 subroutine e_mur1_zx1
 - 10.6 subroutine e_mur1_zx2
 - 10.7 subroutine e_mur1_edge
11. subroutine output (output.f90)
 - 11.1 subroutine slice_zx
 - 11.2 subroutine slice_xy
 - 11.3 subroutine slice_yz

2. 各プログラムの説明

1. module fdtlib <モジュール関数>

ライブラリと同じ役割を持ち、以降すべてのプログラムで共通して参照するファイルである。物理定数（真空の誘電率・透磁率、導電率、光速など）の設定と、FDTDで使うすべての変数を集中宣言する。FDTDで使う配列には、実行時割り当て（解析空間の大きさを決定したら、自動的にその分の配列が確保される方法）がを用いて宣言する。

以下は、モジュール関数の内部を一部抜粋したものである。

```
module fdtlib
!=====
!***** physical constant *****                                物理定数の設定
real(8),parameter :: mu0=12.5663706d-7      ! permeability in vacume
real(8),parameter :: eps0=8.8541878d-12    ! permittivity in vacume
real(8),parameter :: sig8=5.7000000d8      ! ideal conductivity
real(8),parameter :: vc=2.9979000000d8     ! light velocity
real(8),parameter :: pi=3.1415927d0       ! circular constant
!***** frequency condition *****                                周波数に関する変数の宣言
real(8) :: fmin,fmax,dfreq                 ! For frequency loop
integer :: icyc                             ! 1 cycle iteration step
real(8) :: freq,omega                      ! frequency
!***** time condition *****                                    時間に関する変数の宣言
integer :: it                               ! total iteration step
real(8) :: dt,time,tt                      ! time
real(8) :: courant                          ! courant condition
!***** space condition *****                                  配列の最大値を示す変数の宣言
integer :: ix,iy,iz                         ! max lattice number
integer :: mx,my,mz                         ! dimension
integer :: nx,ny,nz                         ! total cell
real(8) :: dl,dx,dy,dz                     ! cell size
real(8) :: lx,ly,lz                         ! total length [m]

!***** boundary reference *****                                実行時割り当て形式で、解析領域
integer :: nxpoint,nypoint,nzpoint         ! number of reference point
integer,dimension(:),allocatable :: xi,yi,zi ! number from origin
real(8),dimension(:),allocatable :: x,y,z   ! distance from origin [m]
!***** field *****                                            実行時割り当て形式で、解析領域
real(8),dimension(:,:,:),allocatable :: ex,ey,ez ! e_field
real(8),dimension(:,:,:),allocatable :: hx,hy,hz ! h_field

(その他省略)

end module fdtlib
```

2. program main <メイン関数>

プログラムの流れ全体を管理するプログラムである。各サブルーチン（初期条件、配列の確保、媒質の設定、解析構造の入力、電界差分式、電流励振、磁界差分式、電磁界分布の出力、ポインティング電力）を、処理する順番ごとにここで呼び出す。以下はメイン関数を抜粋したものの説明である。

program main	
use ftdt_lib	1. module ftdt_lib の読み込み
implicit none	暗黙の型宣言（実数、整数）は使用しない。
integer :: n ! time step	
!***** initial condition *****	初期設定
open(1,file='initialdata')	初期条件を出力するファイル名
open(2,file='bc_pec')	PEC 境界条件を出力するファイル名
open(3,file='bc_media2')	誘電体構造を出力するファイル名
call lattice_time	3. subroutine lattice_time の読み込み
call init_eh_field	6. subroutine init_eh_field の読み込み
call media_coeff	4. subroutine media_coeff の読み込み
call modeling	5. subroutine modeling の読み込み
call waveguide	8. subroutine waveguide の読み込み
call init_e_mur1	10. subroutine init_e_mur1 の読み込み
! call init_modalpower	不使用
close(1)	ファイルクローズ
close(2)	ファイルクローズ
close(3)	ファイルクローズ
time=0.0d0 ! n=0	計算開始
do n=1, it	
write(6,'(1x,d18.9,i6,d18.9)') freq,n,time	周波数, タイムステップ, 時刻の出力
!***** e field *****	
call e_field	6. subroutine e_field の読み込み
call e_mur1	10. subroutine e_mur1 の読み込み
call j_source	7. subroutine j_source の読み込み
time=time+dt/2.0d0	半ステップ時間を進める
!***** h field *****	
call h_field	6. subroutine h_field の読み込み
time=time+dt/2.0d0	半ステップ時間を進める
!***** output *****	
call output	11. subroutine output の読み込み
call power	9. subroutine power の読み込み
! call modalpower	不使用
end do	時間ループ繰返し
end program main	

3. subroutine lattice_time

〈サブルーチン関数〉

セル（ラティス）サイズ，タイムステップ，周波数，および，解析領域の大きさなどの初期条件を入力するプログラム。タイムステップはクーラントの安定条件を満たす値を設定する。この安定条件はセルサイズによってのみ決定される値である。以下は，それぞれセルサイズ，タイムステップ，周波数，解析領域の大きさを決める部分の説明。

クーラントの安定条件について。

$$\Delta t \leq \frac{1}{c\sqrt{(\Delta x)^2 + (\Delta y)^2 + (\Delta z)^2}}$$

クーラントの安定条件式（セルサイズのみで決まる）

```
!***** lattice widths *****
dl=0.5d-3
dx=dl
dy=dl
dz=dl
!***** time step and courant condition *****
courant=1/vc/sqrt(1/dx**2 + 1/dy**2 + 1/dz**2)
dt=0.950d-12 ! < 0.9629244958d-12 (for dl=0.50mm)
!***** sinusoidal frequency and time condition *****
freq=10.0d9
omega=2.0d0*pi*freq ! rad/sec
icyc=nint(1/freq/dt)
```

Δl セルサイズを 0.5 mm 均一に設定。
 Δx （通常 $\lambda/20$ 以下は必要と言われている）
 Δy この例では $dx=dy=dz=0.5$ mm の立方体メッシュ
 Δz
安定条件を満たすタイムステップの設定。
クーラントの安定条件
 Δt
正弦波周波数の設定。
 f
 $\omega = 2\pi f$
 $T/\Delta t$ 正弦波 1 周期あたりのタイムステップ数

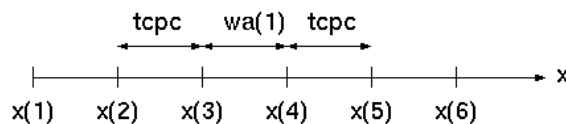
```
!***** define reference point x *****
! reference point location
x(1)=0.0d0
x(2)=x(1)+0.0d-3
x(3)=x(2)+t CPC
x(4)=x(3)+wa(1)
x(5)=x(4)+t CPC
x(6)=x(5)+0.0d-3
lx =x(6)
! lattice numbering
do i=1,nxpoint
xi(i)=1+nint(x(i)/dx)
end do
ix=xi(nxpoint)
! total lattice
nx=ix-1
```

境界条件（誘電体や導体）を入れるために便宜上
設けた x 方向の参照番号。y, z も同じ。
ここで入力した構造から解析領域の大きさが決まり，
確保すべき配列の大きさが決定される。
t CPC は金属厚み，wa(1) は導波管の横幅

入力された解析領域の大きさ（長さ）をもとに
整数の参照番号を割り当てる。

ここで，x 方向の最大配列番号が決定される。

ここで，x 方向のセル数が決定される。



x 方向の参照番号の入力概念図

4. subroutine media_coeff <サブルーチン関数>

任意媒質の材料定数を入力する。そして媒質ごとに識別 ID を与え、媒質定数を含んだ差分係数を定義するプログラムである。電界・磁界の差分式では、異なる媒質ごと識別 ID を与え、それぞれの媒質で各 ID に対応する計算係数を読み替えて計算を行っている。

差分係数について。

差分係数については次のような置き換えを行っている。(例 Ex を求める差分式の場合)

$$\frac{\partial E_x}{\partial t} = \frac{1}{\varepsilon} \left(\frac{\partial H_z}{\partial y} - \frac{\partial H_y}{\partial z} - \sigma E_x \right) \quad \text{マクスウェルの方程式そのもの}$$

時刻 $n-1/2$ を中心に時間微分すると、

$$E_x^n = \frac{1 - \frac{\sigma t}{2\varepsilon}}{1 + \frac{\sigma t}{2\varepsilon}} E_x^{n-1} + \frac{\Delta t}{\varepsilon} \left(\frac{\partial H_z^{n-\frac{1}{2}}}{\partial y} - \frac{\partial H_y^{n-\frac{1}{2}}}{\partial z} \right) \quad \text{時間微分の結果}$$

空間 $(i+1/2, j, k)$ を中心に空間微分すると、

$$E_x^n(i+\frac{1}{2}, j, k) = \text{cex} \cdot E_x^{n-1}(i+\frac{1}{2}, j, k) + \text{cexly} \cdot \left\{ H_z^{n-\frac{1}{2}}(i+\frac{1}{2}, j+\frac{1}{2}, k) - H_z^{n-\frac{1}{2}}(i+\frac{1}{2}, j-\frac{1}{2}, k) \right\} - \text{cexly} \cdot \left\{ H_y^{n-\frac{1}{2}}(i+\frac{1}{2}, j, k+\frac{1}{2}) - H_y^{n-\frac{1}{2}}(i+\frac{1}{2}, j, k-\frac{1}{2}) \right\} \quad \text{時間\&空間微分の結果}$$

ただし、置き換えた係数は次の通りである。

$$\text{cex} = \frac{1 - \frac{\sigma(i+\frac{1}{2}, j, k)\Delta t}{2\varepsilon(i+\frac{1}{2}, j, k)}}{1 + \frac{\sigma(i+\frac{1}{2}, j, k)\Delta t}{2\varepsilon(i+\frac{1}{2}, j, k)}} \quad \text{cexly} = \frac{\Delta t}{\varepsilon(i+\frac{1}{2}, j, k)} \cdot \frac{1}{\Delta y} \quad \text{cexly} = \frac{\Delta t}{\varepsilon(i+\frac{1}{2}, j, k)} \cdot \frac{1}{\Delta z}$$

次の例は ID として、0 番を真空、1 番を PEC (電気壁) または PMC (磁気壁)、2 番を誘電体に割り当てている。

```
!***** number of dielectric media *****
```

```
! 0 : air
```

```
! 1 : pec & pmc
```

```
! >2: arbitrary media
```

```
nmedia=2
```

```
! id=0 is the vacume
```

```
eps(0)=eps0
```

```
sig(0)=0.0d0
```

```
mu(0)=mu0
```

```
! id=1 is pec, pmc (no define, see <e-field> or <h-field> )
```

```
! id=2 is a dielectric media
```

```
! this media constant is 'er = 2-j0' and 'mr=1-j0'
```

```
eps(2)=eps0*(5.0d0)
```

```
sig(2)=omega*eps0*(0.0d0)
```

```
mu(2)=mu0*(0.0d0)
```

ID=0 は真空を表す。

ID=1 は電気壁または、磁気壁を表す。

ID ≥ 2 は任意の媒質 (誘電体・磁性体) を表す。

この例では ID=2 まで使うことを示す。

ID=0 に真空の誘電率、導電率、透磁率を与える。

ε_0

σ_0

μ_0

ID=1 の場合のみ、E=0 (PEC のとき) または、H=0 (PMC のとき) が明らかなので、係数を定義せず差分式内部で別処理する。

ID=2 に誘電率 ($\varepsilon_r=5$)、導電率、透磁率を与える。

ε_2

σ_2 誘電率の虚部はこの中に含まれる。

μ_2 $\varepsilon = \varepsilon' - j\varepsilon''$ のとき、

等価導電率は $\sigma = \omega\varepsilon''$ である。

5. subroutine modeling

〈サブルーチン関数〉

3. subroutine lattice_time で設定した便宜上の参照番号をもとに、導体、誘電体などの具体的な形状を入力するプログラム
ム. 円筒形状や、楕円形状、球、三角形などを入力するサブルーチンを予め用意しておけば様々な形状に応用できる。
下の例は最も基本的な直方体を入力する場合である。

```
! waveguide 1                                導波管壁面の直方体金属を入力する
! yz left
mxs=xi (2)                                    媒質の x 方向の始点を指定
mxe=xi (3)                                    媒質の x 方向の終点を指定
mys=yi (2)                                    媒質の y 方向の始点を指定
mye=yi (5)                                    媒質の y 方向の終点を指定
mzs=zi (1)                                    媒質の z 方向の始点を指定
mze=zi (2)                                    媒質の z 方向の終点を指定
call rectangular_media                        指定された座標からなる矩形媒質の ID を入力するサブルーチンを呼ぶ.
```

```
subroutine rectangular_media                  指定された座標に従って、媒質 ID を入力するサブルーチン.
  use ftdt_lib                               この例では、矩形の金属 (ID=0) を入力している.
  implicit none
  integer :: i, j, k !

  do i = mxs, mxe                             電界の z 成分 ez の ID 入力
    do j = mys, mye
      do k = mzs, mze-1
        id_ez(i, j, k)=1
      end do
    end do
  end do

  do i = mxs, mxe                             電界の y 成分 ez の ID 入力
    do j = mys, mye-1
      do k = mzs, mze
        id_ey(i, j, k)=1
      end do
    end do
  end do

  do i = mxs, mxe-1                           電界の x 成分 ez の ID 入力
    do j = mys, mye
      do k = mzs, mze
        id_ex(i, j, k)=1
      end do
    end do
  end do

end subroutine rectangular_media
```

6. subroutine init_eh_field <サブルーチン関数>

電界と磁界の配列を確保するプログラム.

6. subroutine e_field <サブルーチン関数>

電界差分式を計算するプログラム.

以下の例は電界の x 成分 E_x を計算する部分の抜粋である.

```
subroutine e_field
!*****
! electric field calculation by fd method
!*****
  use ftd_lib
  implicit none
  integer :: i, j, k, id

!***** ex *****
  do k=2, iz-1
    do j=2, iy-1
      do i=1, ix-1
        id=id_ex(i, j, k)

        if(id.eq.0) then
! 0: vacume
          ex(i, j, k)=cex0*ex(i, j, k) &
            +cexry0*(hz(i, j, k)-hz(i, j-1, k)) &
            -cexrz0*(hy(i, j, k)-hy(i, j, k-1))
        else if(id.eq.1) then
! 1: ideal conductor
          ex(i, j, k)=0.0d0
        else
! 2: arbitrary
          ex(i, j, k)=cex(id)*ex(i, j, k) &
            +cexry(id)*(hz(i, j, k)-hz(i, j-1, k)) &
            -cexrz(id)*(hy(i, j, k)-hy(i, j, k-1))
        end if
      end do
    end do
  end do
end do
```

配列 2 番目から最大配列 iz の 1 つ前まで
配列 2 番目から最大配列 iy の 1 つ前まで
配列 1 番目から最大配列 ix の 1 つ前まで

ID=0 (真空) ならば, 真空の差分係数を呼出す

ID=0 (PEC) ならば, 電界は常に零

ID=0 (誘電体) ならば, 誘電体の差分係数を呼出す.

電界差分式について.

$$E_x^n(i+\frac{1}{2}, j, k) = cex \cdot E_x^{n-1}(i+\frac{1}{2}, j, k) \\ + cexly \cdot \left\{ H_z^{n-\frac{1}{2}}(i+\frac{1}{2}, j+\frac{1}{2}, k) - H_z^{n-\frac{1}{2}}(i+\frac{1}{2}, j-\frac{1}{2}, k) \right\} \\ - cexly \cdot \left\{ H_y^{n-\frac{1}{2}}(i+\frac{1}{2}, j, k+\frac{1}{2}) - H_y^{n-\frac{1}{2}}(i+\frac{1}{2}, j, k-\frac{1}{2}) \right\}$$

6. subroutine h_field <サブルーチン関数>

サブルーチン関数. 磁界差分式を計算するプログラム.

省略

7. subroutine j_source

<サブルーチン関数>

シート状の面電流を流して励振源とするプログラム。ほかの励振方法として、電界のみ、磁界のみとした場合でも解析はできるが、物理的には電流を入力するのが最良と考えられている。

等価面電流について、

$$\begin{cases} E_y^\pm = -Z_{TE} \left(\frac{m\pi}{a} \right) A_{m0}^\pm \sin \frac{n\pi x}{a} e^{\mp \gamma z} \\ H_y^\pm = \pm \left(\frac{m\pi}{a} \right) A_{m0}^\pm \sin \frac{n\pi x}{a} e^{\mp \gamma z} \end{cases} \quad \text{TE}_{m0} \text{ モードの横電磁界}$$

これを波源の境界条件に代入し、導波管伝送電力が 1 W となるように振幅 A を決めると、電流密度は次式となる。

$$J_y = \frac{2}{\Delta z} \sqrt{\frac{2}{abZ_{TE}}} \sin \left(\frac{m\pi x}{a} \right) e^{j\omega t} \quad [\text{A/m}^2]$$

なお、電流密度を含む差分式は、マクスウェルの方程式より次式で与えられる。下線部分は、もとの電界差分式そのものである。よって電界差分式の計算の直後に、上式の電流を入力するだけでよい。

$$E^n = \frac{1 - \frac{\sigma \Delta t}{2\varepsilon}}{1 + \frac{\sigma \Delta t}{2\varepsilon}} E^{n-1} + \frac{\Delta t}{1 + \frac{\sigma \Delta t}{2\varepsilon}} (\nabla \times H^{n-\frac{1}{2}}) - \frac{\Delta t}{1 + \frac{\sigma \Delta t}{2\varepsilon}} J^{n-\frac{1}{2}}$$

以下の例は、方形導波管 TE_{m0} モードの等価面電流を流すプログラムの抜粋である。

subroutine j_source

!*****

! electric current field source for rectangular TE_{m0} mode

!*****

use fdtlib

implicit none

integer :: i, j, k, id !

do i=xi(3), xi(4)

導波管の内寸

do j=yi(3), yi(4)-1

"

k=zi(1)+2

"

id=id_ey(i, j, k)

! waveguide inner edge

導波管の内壁エッジは強制的に零

if (i==xi(3) .or. i==xi(4)) then

ey(i, j, k)=0.0d0

! inside waveguide

else

ey(i, j, k)=ey(i, j, k) &

-(dt/eps(id))/(1+(sig(id)*dt/(2.0d0*eps(id)))) &

! *(-2.0d0)/real(zet(dmode))/dz &

* (2.0d0/dz)*sqrt(2.0d0/(wx*wy*real(zet(dmode)))) &

*dsin(dmode*pi*(i-xi(3))/(xi(4)-xi(3))) &

*dsin(2.0d0*pi*freq*(time-dt/2.0d0))

end if

end do

end do

end subroutine j_source

8. subroutine waveguide

〈サブルーチン関数〉

導波管の位相速度や減衰定数、伝搬定数などの導波管パラメータを理論的に計算するプログラム。特に必要がある部分ではないが、吸収境界条件に MUR を使用する場合には、導波管の位相速度が必要になるため、ここで定義している。

以下は、同プログラムの一部を抜粋したものである。

TE 導波管パラメータについて.

$k_0 \geq k_c$ のとき (伝搬モード),

$k_0 \leq k_c$ のとき (非伝搬モード),

$$\alpha = 0$$

$$\beta = \sqrt{k_0^2 - k_c^2}$$

$$v = \frac{\omega}{\beta}$$

$$Z_{TE} = \frac{\omega\mu_0}{\beta}$$

$$\alpha = \sqrt{k_c^2 - k_0^2}$$

$$\beta = 0$$

$$v = 0$$

$$Z_{TE} = j \frac{\omega\mu_0}{\alpha}$$

subroutine waveguide

!*****

! rectangular waveguide parameters for TE(H) wave

!*****

use fdtlib

implicit none

integer :: m ! mode number

do m=0, nmode

! wavenumber

k0=omega*sqrt(mu0*eps0)

自由空間の波数

kc(m)=real(m)*pi/wx

カットオフ波数

if (k0 >= kc(m)) then

伝搬モードの条件が成立するとき,

! for propagation mode

alpha(m)=0.0d0

減衰定数

beta(m)=sqrt(k0**2-kc(m)**2)

位相定数

gamma(m)=alpha(m)+complex_j*beta(m)

伝搬定数

vp(m)=omega/beta(m)

位相速度

zet(m)=omega*mu0/beta(m)

導波管インピーダンス

else

! for evanescent mode

非伝搬モードの条件が成立するとき,

alpha(m)=sqrt(kc(m)**2-k0**2)

beta(m)=0.0d0

gamma(m)=alpha(m)+complex_j*beta(m)

! vp(m)=omega/(-complex_j*alpha(m))

vp(m)=0.0d0

zet(m)=complex_j*omega*mu0/alpha(m)

end if

end do

9. subroutine power <サブルーチン関数>

任意の平面を通過するポインティング電力を計算するプログラム。z方向のポインティング電力を計算するときは、 $S_z = e_x * h_y - e_y * h_x$ に従って計算している。

ポインティング電力の計算について。

セルの中央 $(i + \frac{1}{2}, j, k + \frac{1}{2})$ における瞬時電力の y 成分は、次のようになる。

$$P_y(i + \frac{1}{2}, j, k + \frac{1}{2}) = S_y(i + \frac{1}{2}, j, k + \frac{1}{2}) \cdot \Delta x \Delta z$$

$$\text{ただし, } S_y = E_z H_x - E_x H_z$$

電磁界もセルの中央の値を求めるようにすると、次式のように電界は中央を挟む2点の平均、磁界は4点の平均となる。

$$E_z = \frac{1}{2} \{ E_z(i, j, k + \frac{1}{2}) + E_z(i + 1, j, k + \frac{1}{2}) \}$$

$$H_x = \frac{1}{4} \{ H_x(i, j - \frac{1}{2}, k + \frac{1}{2}) + H_x(i + 1, j - \frac{1}{2}, k + \frac{1}{2}) + H_x(i + 1, j + \frac{1}{2}, k + \frac{1}{2}) + H_x(i, j + \frac{1}{2}, k + \frac{1}{2}) \}$$

$$E_x = \frac{1}{2} \{ E_x(i + \frac{1}{2}, j, k) + E_x(i + \frac{1}{2}, j, k + 1) \}$$

$$H_z = \frac{1}{4} \{ H_z(i + \frac{1}{2}, j - \frac{1}{2}, k) + H_z(i + \frac{1}{2}, j - \frac{1}{2}, k + 1) + H_z(i + \frac{1}{2}, j + \frac{1}{2}, k + 1) + H_z(i + \frac{1}{2}, j + \frac{1}{2}, k) \}$$

subroutine poynting_xy

```
!-----
!  subroutine poynting_xy
!-----
```

```
use fdtlib
implicit none
integer :: i, j, k
```

```
!***** xy (sz = ex.hy - ey.hx) *****
```

ポインティングベクトルのz成分の式

```
psum_xy = 0.0d0
do i=pxs, pxe-1
  do j=pys, pye-1
    k=pzp
    ! ex
    exc=(ex(i, j+1, k)+ex(i, j, k))/2.0d0
    ! hy
    hyc=(hy(i, j, k-1)+hy(i, j+1, k-1)+hy(i, j+1, k)+hy(i, j, k))/4.0d0
    ! ey
    eyc=(ey(i, j, k)+ey(i+1, j, k))/2.0d0
    ! hx
    hxc=(hx(i, j, k-1)+hx(i+1, j, k-1)+hx(i+1, j, k)+hx(i, j, k))/4.0d0
    ! p_xy
    psum_xy = psum_xy + (exc*hyc-eyc*hxc)*dx*dy ! [W]
  end do
end do
```

```
write(7, '(1x, 2d18.10)') time, psum_xy
```

end subroutine poynting_xy

10. subroutine init_e_mur1 <サブルーチン関数>

MUR の一次吸収境界条件で必要になる配列を確保するプログラム。

10. subroutine e_mur1 <サブルーチン関数>

MUR の一次吸収境界条件 (One way equation) に従って、解析領域端面の電界を計算するプログラム。x y 面, y z 面, z x 面の合計 6 面に加えて、8 本のエッジ線部分を計算するサブルーチンも含まれる。

One way equation について。

E を電界成分とし、ある時間 $t = n\Delta t$ と座標 $x = i\Delta x, y = j\Delta y, z = k\Delta z$ における電界を次式のように記号で定義すると、

$$E(t = n\Delta t, x = i\Delta x, y = j\Delta y, z = k\Delta z) \equiv E_{ijk}^n$$

z 方向に伝搬する際の MUR の一次近似吸収境界条件は次のようになる。

$$E_{ij0}^n = E_{ij1}^{n-1} - \frac{\Delta z - v\Delta t}{\Delta z + v\Delta t} (E_{ij1}^n - E_{ij0}^{n-1})$$

```
subroutine e_mur1_xy1
```

```
!-----  
!  subroutine mur1_free_xy for xy free space  
!-----  
  
  use ftdt_lib  
  implicit none  
  integer :: i, j !  
  
  ptz=(vp(mur_mode)*dt-dz)/(vp(mur_mode)*dt+dz)  
  
  do i=1, ix-1  
    do j=2, iy-1  
      ex(i, j, 1)=ex1_xy(i, j, 2)+ptz*(ex(i, j, 2)-ex1_xy(i, j, 1))  
    enddo  
  enddo  
  do j=1, iy-1  
    do i=2, ix-1  
      ey(i, j, 1)=ey1_xy(i, j, 2)+ptz*(ey(i, j, 2)-ey1_xy(i, j, 1))  
    enddo  
  enddo  
  !***** update past field *****  
  do i=1, ix-1  
    do j=2, iy-1  
      ex1_xy(i, j, 2)=ex(i, j, 2)  
      ex1_xy(i, j, 1)=ex(i, j, 1)  
    enddo  
  enddo  
  do j=1, iy-1  
    do i=2, ix-1  
      ey1_xy(i, j, 2)=ey(i, j, 2)  
      ey1_xy(i, j, 1)=ey(i, j, 1)  
    enddo  
  enddo  
  
end subroutine e_mur1_xy1
```

時間メモリを節約するために1ステップ前の電界をここで保存しておく。あとは順次上書きされる。

11. subroutine output <サブルーチン関数>

計算結果を一定の時間ごとに出力ファイルに書き出して、電磁界の伝搬を可視化するためのプログラム。任意の二次元平面を観測面とし、その面上にある電磁界を観察する。xy スライス, yz スライス, zx スライスの3つのサブルーチンを含む。

以下は zx スライスのサブルーチンの一部を抜粋したものである。

```
!***** field images per cycle *****
animation=5

subroutine slice_zx
!-----
! slice_zx plane
!-----

use ftdt_lib
implicit none
integer :: i, j, k !

!***** time step counter *****
tsc3=tsc3+1
!***** file for zx gnuplot *****
if (tsc3==icyc/animation) then
  fc3=fc3+1
  tsc3=0 !reset time step counter
  if (fc3<10) then
    write(field_zx, fmt='('' field_zx000'', i1)') fc3
  else if (fc3<100) then
    write(field_zx, fmt='('' field_zx00'', i2)') fc3
  else if (fc3<1000) then
    write(field_zx, fmt='('' field_zx0'', i3)') fc3
  else
    write(field_zx, fmt='('' field_zx'', i4)') fc3
  endif

  open(unit=3, file=field_zx)
  do k=1, iz
    do i=1, ix
      j=slice_y
      write(3, '(1x, 3i4, 2e18.10)') i, k, j, &
        ey(i, j, k), -real(zet(dmode))*hx(i, j, k)
    end do
    write(3, *)
  end do
  close(3)
endif
end subroutine slice_zx
```

正弦波 1 周期あたりに何枚の静止画像を用意するか設定する。

例えば icyc=100 (1 周期あたりのタイムステップ数), animation=5 のときならば, tsc3 という変数が 20 になるたびにファイル出力がされる。

参考文献

FDTD 法に関する国内参考書

- [1] 宇野亨, FDTD 法による電磁界およびアンテナ解析, コロナ社, 1998
- [2] 橋本修, 阿部琢己, FDTD 時間領域差分法入門, 森北出版, 1996

FDTD ソースコードの入手

- [3] 東工大平野先生のホームページ <http://www-antenna.ee.titech.ac.jp/~hira/study/fdtd/fdtd.html>

Fortran90 の解説

- [1] ラリー ニーホフ, サンフォード リーストマー, 入門 Fortran90, ピアソンエデュケーション

国産 FDTD シミュレータの紹介

- [4] MAGNA-TDM http://www.engineering-eye.com/MAGNA_TDM/